

С. П. Ильиных, В. И. Гужов, Н. Е. Кафидова, Д. Д. Бочаров
(Новосибирск)

РОБАСТНЫЙ АЛГОРИТМ РАСШИФРОВКИ ИНТЕРФЕРОГРАММ

Рассмотрен алгоритм расшифровки интерферограмм, устойчивый к случайным ошибкам при неправильном задании фазовых сдвигов, а также при определении средней яркости и контраста интерференционных полос. Показано, что предложенный подход применяет траекторный анализ квадратурных составляющих, используемых в алгоритме расшифровки.

Алгоритмы расшифровки, которые используют наименьшее число сдвигов, обеспечивают минимальное время вычислений и малое число кадров для хранения необходимых при расшифровке интерферограмм. Этим требованиям удовлетворяют трехточечные алгоритмы [1]

$$\arctg \frac{(I_1 - I_2)c_0 - (I_2 - I_0)c_1 - (I_0 - I_1)c_2}{(I_1 - I_2)s_0 - (I_2 - I_0)s_1 - (I_0 - I_1)s_2} = \arctg \frac{Y}{X}, \quad (1)$$

где $I_i = A V \cos(\varphi_i)$; $c_i = \cos(\varphi_i)$; $s_i = \sin(\varphi_i)$; φ_i – фазовые сдвиги, $i = 0, \dots, 2$.

Удобно выбирать φ_i , которые приводят выражение (1) к наиболее простому для вычислений виду. Например, при $\varphi_0 = 0$, $\varphi_1 = 60^\circ$, $\varphi_2 = 120^\circ$

$$Y = 2I_0 - I_1 - I_2, \quad (2a)$$

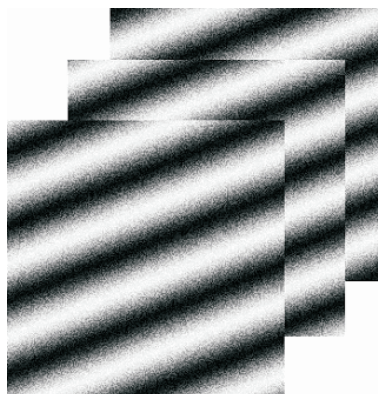
$$X = I_2 - I_1. \quad (2б)$$

Однако алгоритмы с небольшим числом шагов наиболее чувствительны к изменениям освещенности, механическим вибрациям и ошибкам при установке фазового сдвига.

На рис. 1 показаны распределения интенсивностей, образованных при интерференции двух плоских пучков с фазовыми сдвигами: $\varphi_0 = 0$, $\varphi_1 = 66^\circ$, $\varphi_2 = 132^\circ$. Размер каждого изображения 512×512 точек по 8 бит.

Откладывая все значения знаменателя Y и числителя X в формуле (1) на комплексной плоскости, получим траекторию, по которой можно определить наличие погрешности при нахождении фазы по полю интерферограммы (рис. 2).

Рис. 1. Интерферограммы, образованные при интерференции двух плоских пучков с фазовыми сдвигами



Если ошибка при определении фазовых сдвигов δ_i отсутствует, данная траектория представляет собой окружность [2]. Случайные ошибки регистрации средней яркости A и изменение контраста полюс V по полю интерферограммы приводят к смещению траектории относительно центра (рис. 2, *a*) и ее эллиптичности при неправильном определении фазовых сдвигов (рис. 2, *b*). Эти ошибки приводят к погрешности при определении фаз. Наиболее существенной является погрешность, обусловленная неправильным заданием фазовых сдвигов.

Основная идея обеспечения робастности алгоритмов расшифровки заключается в коррекции распределения точек на комплексной плоскости путем аффинного преобразования эллиптической траектории в круговую. Аналогичный подход применяется при анализе муарограмм с эллиптически поляризованными волновыми фронтами [3] в три этапа: 1) привести эллипс к каноническому виду; 2) отцентрировать эллипс; 3) преобразовать эллипс в окружность.

Приводим эллипс к каноническому виду. Находим главные оси эллипса, определяя коэффициенты двух взаимно перпендикулярных произвольно ориентированных прямых вида $y = kx + b$, имеющих минимальное (максимальное) расстояние от каждой точки траектории X, Y до соответствующей прямой. Эта задача сводится к поиску минимума (максимума) целевой функции F методом наименьших квадратов (МНК):

$$F_i = \sqrt{\left(Y_i - \frac{kX_i + b}{1 + k^2} \right)^2 + \left(X_i - \frac{k(Y_i - b) - X_i}{1 + k^2} \right)^2} \quad \min(\max). \quad (3)$$

Искомые коэффициенты k и b определяем, приравнявая к нулю соответст-

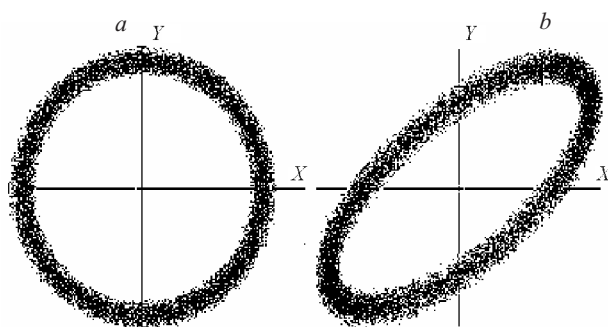


Рис. 2. Распределение точек на комплексной плоскости: при правильном задании фазового сдвига (*a*), при 20 %-ной ошибке в определении сдвига (*b*)

ющие частные производные целевой функции (3) и решая полученные уравнения. В этом случае k находим из уравнения

$$k^2 \frac{X^2 + Y^2 - N - Y^2 - X^2}{X - Y - N - XY} - k - 1 = 0, \quad (4)$$

где N – число точек (X, Y) на комплексной плоскости. Отметим, что коэффициенты k_1 и k_2 , являющиеся корнями уравнения (4), представляют тангенсы угла наклона взаимно перпендикулярных прямых и связаны между собой соотношением $k_1 = \frac{1}{k_2}$, поэтому достаточно найти только один корень уравнения (4) и соответствующий ему коэффициент

$$b = \frac{1}{N} - Y - k - Y. \quad (5)$$

Затем осуществляем поворот главных осей эллипса относительно произвольной точки (X_0, Y_0) , принадлежащей одной из этих осей:

$$\begin{pmatrix} X_1 \\ Y_1 \\ 1 \end{pmatrix} = \begin{pmatrix} \cos(\alpha) & \sin(\alpha) \\ \sin(\alpha) & \cos(\alpha) \\ 0 & 0 \end{pmatrix} \begin{pmatrix} X_0 \\ Y_0 \\ 1 \end{pmatrix} + \begin{pmatrix} X \\ Y \\ 1 \end{pmatrix}, \quad (6)$$

где $\operatorname{tg}(\alpha) = k$.

Центрируем эллипс:

$$X_2 = X_1 - \frac{1}{N} X_{1i}, \quad Y_2 = Y_1 - \frac{1}{N} Y_{1i}. \quad (7)$$

Преобразуем эллипс в окружность:

$$\begin{pmatrix} Y_3 \\ X_3 \end{pmatrix} = \begin{pmatrix} 0 & 1 \\ 1 & 0 \end{pmatrix} \begin{pmatrix} Y_2 \\ X_2 \end{pmatrix}, \quad (8a)$$

если большая ось эллипса ориентирована вдоль оси ординат, или

$$\begin{pmatrix} Y_3 \\ X_3 \end{pmatrix} = \begin{pmatrix} 1 & 0 \\ 0 & -1 \end{pmatrix} \begin{pmatrix} Y_2 \\ X_2 \end{pmatrix}, \quad (8b)$$

если большая ось эллипса ориентирована вдоль оси абсцисс комплексной плоскости. Здесь λ – коэффициент сжатия (растяжения):

$$\lambda = \sqrt{\frac{(Y_2)^2}{(X_2)^2}}. \quad (9)$$

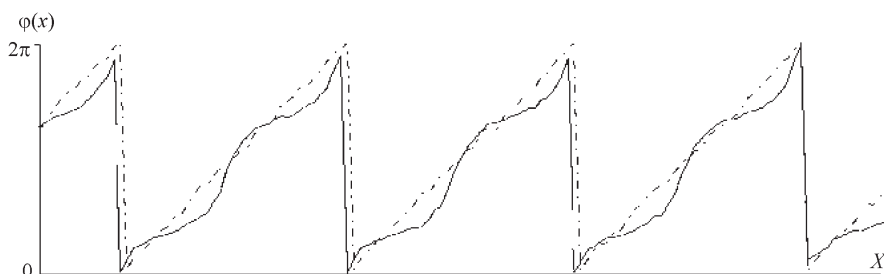


Рис. 3. Значения фаз в горизонтальном сечении интерферограммы, полученные без коррекции фазы (сплошная линия) и с коррекцией фазы (штриховая линия)

Далее выполняется расшифровка по алгоритму (1):

$$\arctg \frac{Y_3}{X_3}. \quad (10)$$

На рис. 3 представлены результаты расшифровки реальных интерферограмм, показанных на рис.1, при предполагаемых значениях фазовых сдвигов: $\varphi_0 = 0$, $\varphi_1 = 60$, $\varphi_2 = 120$. На рисунке хорошо видна низкочастотная паразитная синусоидальная структура, являющаяся следствием ошибок при неправильном задании фазового сдвига [4, 5]. Показаны значения фаз, полученные после корректировки квадратурных составляющих (1) по формулам (3)–(10) (штриховая линия).

Недостатком данного алгоритма является усиление аддитивных шумов в раз. Однако эти шумы сравнительно легко могут быть устранены известными методами линейной фильтрации.

Таким образом, предложенный алгоритм позволяет скорректировать погрешности определения фазы, вызванные неправильным заданием фазовых сдвигов, а также ошибками измерения интенсивности по полю интерферограммы.

СПИСОК ЛИТЕРАТУРЫ

1. Ильиных С. П., Гужов В. И. Обобщенный алгоритм расшифровки интерферограмм с пошаговым сдвигом // Автометрия. 2002. 38, № 3. С. 123.
2. Гужов В. И., Котарский Б. С. Влияние разрядности при квантовании интенсивности на погрешность определения фазы в системах с управляемым фазовым сдвигом // Автометрия. 1990. № 2. С. 70.
3. Vaclavik P., Minster J. Moire interferometry with elliptically polarized waves // Opt. Eng. 1999. 38, N 4. P. 630.
4. Гужов В. И., Нечаев В. Г., Мишина Е. М. Коррекция нелинейных ошибок задания начальной фазы при расшифровке интерферограмм методом пошагового фазового сдвига // Автометрия. 1997. № 4. С. 35.
5. Васильев В. Н., Гуров И. П. Компьютерная обработка сигналов в приложении к интерферометрическим сигналам. С.-Пб.: БХВ-Санкт-Петербург, 1998.

Новосибирский государственный
технический университет,
E-mail: ls@ftf.nstu.ru

Поступило в редакцию
5 апреля 2004 г.